

DOI:10.3969/j.issn.1000-9760.2017.03.006

济宁地区汉族人群 19 个 STR 基因座遗传多态性分析^{*}

侯森¹ 马莉³ 党珍¹ 张晗¹ 李璐² 王业全^{1△}

(¹ 济宁医学院法医学与医学检验学院, 济宁 272067; ² 济南大学, 济南 250062;

³ 济宁医学院附属济宁市第一人民医院, 济宁 272011)

摘要 目的 对山东省济宁地区 889 名无关汉族个体进行 19 个 STR 基因座遗传多态性分析, 为相关研究和鉴定提供基础数据。**方法** 采用 Goldeneye 20A 试剂盒人类荧光标记 STR 复合扩增检测试剂(基点认知公司)进行直接扩增, 经测序后获得所有个体 19 个 STR 基因座的 DNA 分型, 应用 Power Stats V12 软件计算等位基因的分布频率等群体遗传数据。**结果** 在 19 个 STR 基因座中共检出 246 个等位基因和 926 种基因型, 基因频率分布在 0.0006 ~ 0.5299 之间, 杂合度分布在 0.642 ~ 0.918 之间, 匹配概率在 0.012 ~ 0.207 之间, 个体识别能力在 0.793 ~ 0.988 之间, 多态信息含量在 0.570 ~ 0.920 之间, 和非父排除概率在 0.345 ~ 0.831 之间。各基因座的基因型分布均符合 Hardy-Weinberg 平衡定律($P > 0.05$)。**结论** 19 个 STR 基因座具有高多态性和较好识别能力, 在该地区汉族人群的多态性研究中具有较高的应用价值。

关键词 遗传多态性; STR; 济宁地区

中图分类号: DF795.2 文献标识码: B 文章编号: 1000-9760(2017)06-176-05

Polymorphism analysis of 19 autosomal short-tandem repeat loci in Han population of Jining

HOU Sen¹, MA Li³, DANG Zhen¹, ZHANG Han¹, LI Lu², WANG Yequan^{1△}

(¹ Institute of Forensic Medicine and Laboratory Medicine, Jining Medical University, Jining 272067, China;

² Jinan University, Jinan 250062, China;

³ Jining First People's Hospital & the Affiliated Hospital of Jining Medical University, Jining 272011, China)

Abstract; Objective To investigate 19 short-tandem repeat loci (STR) genetic polymorphism of 889 Chinese Han population in Jining region by the DNA database resources from the center of forensic science of Jining medical university. **Methods** Using Goldeneye™ DNA ID System 20A kit direct amplification and sequencing, we got DNA typing of the 19 STR loci and analyzed the genetics data by PowerStats V12. **Results** The Goldeneye 20A System for 19 STR loci had an allele frequencies ranging from 0.0006 to 0.5299, heterozygotes ranging from 0.642 to 0.918, matching probability (Pm) ranging from 0.012 to 0.207, power of discrimination (DP) ranging from 0.793 to 0.988, polymorphism information content (PIC) ranging from 0.570 to 0.920 and power of exclusion (PE) ranging from 0.345 to 0.831. No significant deviation from Hardy-Weinberg expectations was found for all the loci ($P > 0.05$). **Conclusion** The 19 STR loci are highly polymorphic and identification ability in Han population of Jining.

Keywords: Polymorphism; Short-tandem repeat; Jining

STR (short-tandem repeat) 是目前法医物证鉴定中常规使用的长度多态性遗传标记, 其等位基

因片段长度多在 400bp 以下, 扩增成功率高, 阳性率和检测灵敏度高, 尤其使用于降解、陈旧和腐败检材的分型鉴定。一个 STR 基因座能否用作法医 DNA 分析的遗传标记需要进行法医学应用评估, 评估内容主要涉及遗传标记的基本特征(包括遗传方式、检测技术、染色体定位和多态性类型)、种

* [基金项目] 济宁医学院校级青年基金项目 (JYQ14KJ11, JY2015KJ006); 大学生创新训练计划项目(cx2016028, 201610443028); 山东省教育科学规划项目 (YC2017036)

△ [通信作者] 王业全, E-mail: wangyequan1103@163.com

属特异性、分型稳定性、可重复性、群体遗传调查和抗 PCR 抑制剂干扰能力等。本文主要通过群体遗传调查对济宁地区 889 名无关汉族个体常染色体 19 个 STR 基因座进行基因频率和多态性参数分析,旨在获得济宁地区汉族人群相关基因座的基因数据,为法医学个体识别、亲权鉴定^[1]、群体遗传学提供相关数据。

1 材料与方法

1.1 样本来源

血液样本均来源于济宁医学院司法鉴定中心 DNA 数据库资源,济宁地区人群中 889 名无关汉族个体,以 FTA 卡形式保存。

1.2 仪器与试剂

GeneAmp 9700 型 PCR 扩增仪(美国 AB 公司),3500 型遗传分析仪(美国 AB 公司),Goldeneye™ DNA ID System 20A 试剂盒(中国基点认知公司)

1.3 STR 扩增及分型检测

FTA 卡血样利用采用 Goldeneye 20A 试剂盒人类荧光标记 STR 复合扩增检测试剂,经 PCR 复合扩增,扩增体系和反应条件参照相关试剂盒说明书进行,扩增产物经 ABI3500 自动遗传分析仪

(美国 AB 公司)进行电泳检测,通过 GeneMapper-ID-X 软件分析,获得 19 个 STR 基因座分型结果。

1.4 统计学方法

应用 Hardy-Weinberg 平衡软件对 19 个 STR 基因座的基因型数据进行 χ^2 检验。采用 PowerStats V12 软件统计基因频率并计算杂合度(H)、匹配概率(Pm)、个体识别能力(DP)、多态信息含量(PIC)、非父排除概率(PE)和父权指数(TPI)和基因多样性(GD)等遗传学参数^[2],基因多样性(GD)按公式 $GD = n(1 - \sum P_i^2) / (n-1)$ 计算,其中 P_i 为等位基因频率。

2 结果

2.1 基因座分型图谱

889 个样本经扩增、电泳、分析后得到 19 个 STR 基因座图谱。见图 1。

2.2 基因频率分布

889 名济宁地区个体在 19 个 STR 基因座共检出 246 个等位基因和 926 种基因型,基因频率分布在 0.0006 ~ 0.5299 之间。经 χ^2 检验,各基因座的基因型分布均符合 Hardy-Weinberg 平衡 ($P > 0.05$)^[3]。见图 1、表 2。

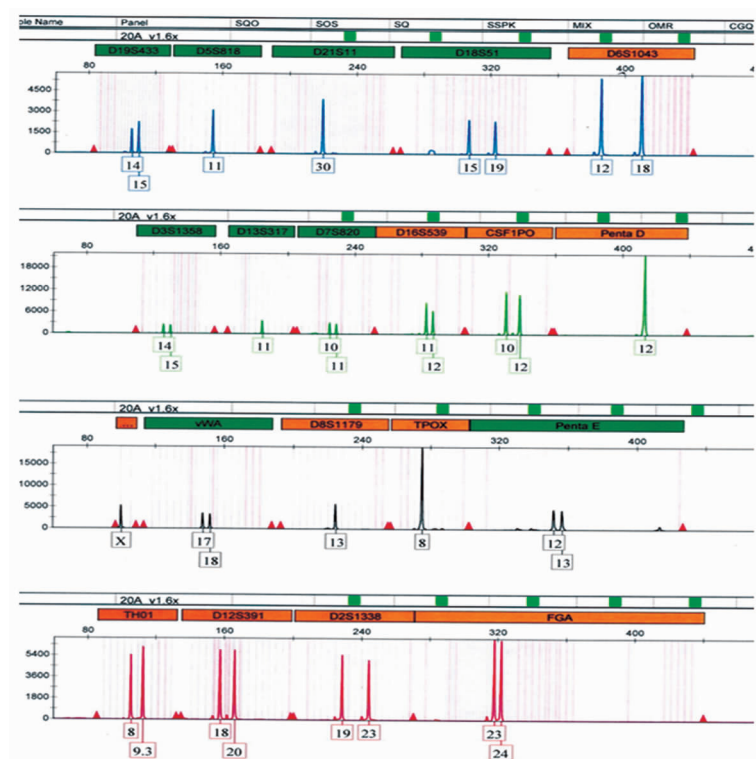


图 1 19 个 STR 基因座分型图谱

表 1 济宁地区 889 名汉族个体 19 个 STR 基因座等位基因与基因型计数

| 基因座 | 等位基因 | 基因型 | 基因座 | 等位基因 | 基因型 | | | |
|---------|------|-----|---------|------|-----|---------|----|---------|
| D19S433 | 10 | 33 | D3S1358 | 10 | 25 | Penta D | 11 | 41 |
| D5S818 | 9 | 29 | D13S317 | 8 | 27 | vWA | 9 | 28 |
| D21S11 | 19 | 67 | D7S820 | 10 | 32 | D8S1179 | 11 | 42 |
| D18S51 | 19 | 81 | D16S539 | 8 | 28 | TPOX | 7 | 16 |
| D6S1043 | 20 | 76 | CSF1PO | 10 | 28 | Penta E | 24 | 148 |
| | | | | | | | 合计 | 246 926 |

表 2 济宁地区 889 名汉族个体 19 个 STR 基因座的等位基因频率

| D19S433 | | D5S818 | | D21S11 | | D18S51 | | D6S1043 | | D3S1358 | |
|---------|--------|---------|--------|---------|--------|---------|--------|---------|--------|---------|--------|
| A | F | A | F | A | F | A | F | A | F | A | F |
| 7 | 0.0011 | 7 | 0.0112 | 27 | 0.0023 | 9 | 0.0022 | 8 | 0.0011 | 11 | 0.0006 |
| 8 | 0.0011 | 8 | 0.0022 | 28 | 0.0423 | 9.2 | 0.0011 | 9 | 0.0006 | 12 | 0.0006 |
| 9 | 0.0484 | 9 | 0.0675 | 28.2 | 0.0040 | 10 | 0.0034 | 10 | 0.0332 | 13 | 0.0011 |
| 10 | 0.2604 | 10 | 0.1924 | 29 | 0.2720 | 11 | 0.0017 | 11 | 0.0922 | 14 | 0.0433 |
| 11 | 0.2362 | 11 | 0.3352 | 29.2 | 0.0006 | 12 | 0.0382 | 12 | 0.1204 | 15 | 0.3774 |
| 11.1 | 0.0006 | 12 | 0.2368 | 30 | 0.2788 | 13 | 0.2160 | 13 | 0.1462 | 16 | 0.3240 |
| 12 | 0.3588 | 13 | 0.1429 | 30.2 | 0.0130 | 14 | 0.2103 | 14 | 0.1423 | 17 | 0.1834 |
| 13 | 0.0810 | 14 | 0.0107 | 30.3 | 0.0073 | 15 | 0.1699 | 15 | 0.0157 | 18 | 0.0636 |
| 14 | 0.0107 | 15 | 0.0011 | 31 | 0.1010 | 16 | 0.1209 | 16 | 0.0028 | 19 | 0.0051 |
| 15 | 0.0017 | | | 31.2 | 0.0717 | 17 | 0.0630 | 17 | 0.0332 | 20 | 0.0011 |
| | | D13S317 | | | | | | | | | |
| | | D7S820 | | A | F | 32 | 0.0288 | 18 | 0.0456 | 17.3 | 0.0017 |
| | | A | F | 7 | 0.0006 | 32.2 | 0.1242 | 19 | 0.0439 | 18 | 0.1884 |
| 7 | 0.0023 | 8 | 0.2474 | 33 | 0.0034 | 20 | 0.0304 | 19 | 0.1721 | 8 | 0.0062 |
| 8 | 0.1315 | 9 | 0.1217 | 33.2 | 0.0435 | 21 | 0.0264 | 20 | 0.0371 | 9 | 0.2812 |
| 9 | 0.0623 | 10 | 0.1580 | 34 | 0.0006 | 22 | 0.0157 | 20.3 | 0.0006 | 10 | 0.1423 |
| 9.1 | 0.0017 | 11 | 0.2486 | 34.1 | 0.0006 | 23 | 0.0073 | 21 | 0.0067 | 11 | 0.2537 |
| 10 | 0.1857 | 12 | 0.1747 | 34.2 | 0.0051 | 24 | 0.0022 | 21.3 | 0.0022 | 12 | 0.1963 |
| 10.1 | 0.0012 | 13 | 0.0404 | 35 | 0.0006 | 25 | 0.0006 | 22 | 0.0006 | 13 | 0.1091 |
| 11 | 0.3411 | 14 | 0.0087 | 35.2 | 0.0006 | 26 | 0.0011 | 22.3 | 0.0022 | 14 | 0.0107 |
| 12 | 0.2270 | | | Penta E | | 35.2 | 0.0006 | 24.3 | 0.0006 | 15 | 0.0006 |
| 13 | 0.0437 | | | A | F | 7 | 0.0011 | | | | |
| 14 | 0.0035 | | | 5 | 0.0599 | 8 | 0.0111 | 15 | 0.0169 | A | F |
| | | Penta D | | 7 | 0.0028 | 9 | 0.0011 | 16 | 0.0045 | 16 | 0.0006 |
| | | A | F | 8 | 0.0113 | 10 | 0.2604 | 17.2 | 0.0006 | 17 | 0.0011 |
| 6 | 0.0045 | | | 9 | 0.0062 | 11 | 0.2362 | 17.3 | 0.0006 | 18 | 0.0186 |
| 7 | 0.0040 | | | 10 | 0.0463 | 11.1 | 0.0006 | 18 | 0.2492 | 19 | 0.0411 |
| 8 | 0.0526 | | | 11 | 0.1209 | 12 | 0.3588 | 18.2 | 0.0006 | 20 | 0.0518 |
| 9 | 0.2794 | | | 12 | 0.0870 | 13 | 0.0810 | 19 | 0.2002 | 20.2 | 0.0006 |
| 10 | 0.1324 | | | 13 | 0.0424 | 14 | 0.0107 | 20 | 0.1631 | 21 | 0.0991 |
| 11 | 0.1578 | | | 14 | 0.0898 | 15 | 0.0017 | 21 | 0.1153 | 21.2 | 0.0011 |
| 12 | 0.1861 | | | 15 | 0.1051 | | | 22 | 0.1678 | | |
| 13 | 0.1369 | | | 16 | 0.1000 | D8S1179 | | 22 | 0.0855 | A | F |
| 14 | 0.0368 | | | 17 | 0.0718 | A | F | 23 | 0.0321 | 9 | 0.0006 |
| 15 | 0.0079 | | | 17.3 | 0.0006 | 8 | 0.0011 | 24 | 0.0208 | 16.1 | 0.0006 |
| 16 | 0.0017 | | | 18 | 0.0831 | 9 | 0.0006 | 25 | 0.0067 | 17 | 0.0540 |
| | | vWA | | 18.3 | 0.0006 | 10 | 0.0844 | 26 | 0.0006 | 24.2 | 0.0073 |
| | | A | F | 19 | 0.0531 | 11 | 0.0793 | 27 | 0.0321 | 18 | 0.1153 |
| 13 | 0.0006 | | | 19.3 | 0.0006 | 12 | 0.1310 | 28 | 0.0006 | 25 | 0.1025 |
| 14 | 0.2475 | | | 20 | 0.0435 | 13 | 0.2469 | | | 25.2 | 0.0034 |
| 15 | 0.0208 | | | 21 | 0.0350 | 14 | 0.1952 | A | F | 26 | 0.0422 |
| 16 | 0.2025 | | | 22 | 0.0181 | 15 | 0.1592 | 8 | 0.5052 | 26.2 | 0.0006 |
| 17 | 0.2435 | | | 23 | 0.0107 | 16 | 0.0883 | 9 | 0.1187 | 27 | 0.0101 |
| 18 | 0.1839 | | | 24 | 0.0085 | 17 | 0.0118 | 10 | 0.0210 | 27.2 | 0.0011 |
| 19 | 0.0872 | | | 25 | 0.0023 | 18 | 0.0022 | 11 | 0.3172 | 28 | 0.0006 |
| 20 | 0.0118 | | | 26 | 0.0006 | | | 12 | 0.0332 | 29 | 0.0006 |
| 21 | 0.0022 | | | | | | | 13 | 0.0041 | 30 | 0.0006 |
| | | | | | | | | 14 | 0.0006 | 27 | 0.0028 |
| | | | | | | | | | | 28 | 0.0017 |

2.3 多态性评估参数

19 个基因座的杂合度分布在 0.642 ~ 0.918 之间, 匹配概率在 0.012 ~ 0.207 之间, 个体识别能力在 0.793 ~ 0.988 之间, 多态信息含量在 0.570

~ 0.920 之间, 非父排除概率在 0.345 ~ 0.831 之间, 累积非父排除概率为 0.99999990819923。各基因座遗传学参数见表 3。

表 3 济宁地区 889 名汉族个体 19 个 STR 基因座的法医遗传学参数

| 基因座 | H | Pm | DP | PIC | PE | TPI | GD |
|---------|-------|-------|-------|-------|-------|-------|-------|
| D19S433 | 0.747 | 0.111 | 0.889 | 0.690 | 0.504 | 1.980 | 0.739 |
| D5S818 | 0.763 | 0.089 | 0.911 | 0.730 | 0.532 | 2.110 | 0.770 |
| D21S11 | 0.837 | 0.060 | 0.940 | 0.790 | 0.670 | 3.080 | 0.814 |
| D18S51 | 0.847 | 0.040 | 0.960 | 0.840 | 0.689 | 3.270 | 0.855 |
| D6S1043 | 0.891 | 0.034 | 0.966 | 0.850 | 0.777 | 4.580 | 0.867 |
| D3S1358 | 0.714 | 0.133 | 0.867 | 0.660 | 0.451 | 1.750 | 0.714 |
| D13S317 | 0.814 | 0.068 | 0.932 | 0.780 | 0.626 | 2.690 | 0.806 |
| D7S820 | 0.808 | 0.088 | 0.912 | 0.740 | 0.614 | 2.600 | 0.775 |
| D16S539 | 0.780 | 0.080 | 0.920 | 0.750 | 0.562 | 2.270 | 0.787 |
| CSF1PO | 0.747 | 0.111 | 0.889 | 0.690 | 0.504 | 1.980 | 0.739 |
| Penta D | 0.836 | 0.057 | 0.943 | 0.800 | 0.667 | 3.050 | 0.823 |
| vWA | 0.792 | 0.072 | 0.928 | 0.770 | 0.584 | 2.400 | 0.797 |
| D8S1179 | 0.837 | 0.047 | 0.953 | 0.820 | 0.669 | 3.070 | 0.838 |
| TPOX | 0.669 | 0.207 | 0.793 | 0.570 | 0.383 | 1.510 | 0.629 |
| PentaE | 0.918 | 0.012 | 0.988 | 0.920 | 0.831 | 6.060 | 0.924 |
| TH01 | 0.642 | 0.182 | 0.818 | 0.590 | 0.345 | 1.400 | 0.639 |
| D12S391 | 0.827 | 0.047 | 0.953 | 0.820 | 0.650 | 2.890 | 0.839 |
| D2S1338 | 0.863 | 0.036 | 0.964 | 0.840 | 0.720 | 3.640 | 0.860 |
| FGA | 0.839 | 0.043 | 0.957 | 0.830 | 0.673 | 3.100 | 0.849 |

3 讨论

在群体遗传学中样本量越大, 代表性就越强, 所得资料越可信。本文分析 889 名济宁地区无关汉族个体, 在 19 个 STR 基因座共检出 246 个等位基因和 926 种基因型, 累积非父排除概率为 0.99999990819923。其样本数和统计出的等位基因数和基因型数均高于之前对该地区的相关研究^[4], 具有较好的代表性。

一个基因座的遗传多态性是指在人群中能够保持稳定的频率, 遗传多态性高的基因座随样本量的变化波动较小, 遗传多态性低的基因座随样本量的变化波动较大。按照 Gill 等^[5]认为 $DP \geq 0.9, H \geq 0.7$ 的基因座具有较高的遗传多态性, 依此为标准, 本文分析的 19 个 STR 基因座在济宁地区人群中, 有 Penta E 等 14 个基因座均具有高度遗

传多态性和高度杂合性, 具有高鉴别能力, 其中 Penta E 基因座 GD 最高, 为 0.924, TPOX 基因座 GD 最低, 为 0.629。而 D19S433、D3S1358、CSF1PO、TPOX 及 TH01 5 个 STR 基因座遗传多态性稍低, 与中国广州、苏州、云南等南方地区汉族人群报道基本一致^[6-9], 与少数民族和国外存有差别^[10-11]。可能因为还需要增加大规模样本量, 也可能因为该 19 个 STR 基因座选自美国人群, 与中国汉族人群存在差异。

总体来说, 济宁地区汉族人群的 19 个 STR 基因座具有较高的遗传多态性, 是比较理想遗传标记系统。但有 D19S433、D3S1358、CSF1PO、TPOX 及 TH01 5 个 STR 基因座对于济宁地区汉族人群遗传多态性稍低, 该相关遗传标记系统效能仍有进一步优化的空间。本文所得到的 19 个 STR 基因座的遗传学参数可为济宁汉族人群法医个体识

别、亲权鉴定及遗传学研究提供依据和有效补充。

参考文献:

- [1] 周保成,许天龙,毛华芬,等.19个STR基因座分型在741例亲子鉴定中的应用[J].中国法医学杂志,2015,30(4):396-398. DOI:10.13618/j.issn.1001-5728.2015.04.014.
 - [2] 赵方,伍新尧,蔡贵庆. Modified-Powerstates 软件在法医生物统计中应用[J]. 中国法医学杂志,2003,18(5):297-299.
 - [3] Raymond M, Rousset F. GENEPOP (Version 1.2): Population genetics software for exact tests and ecumenicism[J]. Journal of Heredity, 1995, 86(3):248-249. DOI:10.1093/oxfordjournals.jhered.a111573.
 - [4] 张国安,宋如莹,李璐,等.山东济宁地区汉族人群15个STR基因座遗传多态性[J].中国法医学杂志,2016,31(6):619-620. DOI:10.13618/j.issn.1001-5728.2016.06.026.
 - [5] Gill P, Urquhart T A, Millican E, et al. A new method of STR interpretation using inferential logic--development of a criminal intelligence database[J]. Int J Legal Med, 1996, 109(1):14-22. DOI:10.1007/bf01369596.
 - [6] Chen L, Lu H, Qiu P, et al. Polymorphism analysis of 15 STR loci in a large sample of Guangdong (Southern China) Han population [J]. Leg Med (Tokyo), 2015, 17(6): 489-492. DOI: 10.1016/j.legalmed. 2015. 10.
-

(上接第 175 页)

- [8] Boumezbeur F, Petersen KF, Cline GW, et al. The contribution of blood lactate to brain energy metabolism in humans measured by dynamic ¹³C nuclear magnetic resonance spectroscopy[J]. J Neurosci, 2010, 30(42): 13983-13991. DOI:10.1523/JNEUROSCI.2040-10.2010.
- [9] Bélanger M, Allaman I, Magistretti PJ. Brain energy metabolism: focus on astrocyte-neuron metabolic cooperation[J]. Cell Metab, 2011, 14(6): 724-738. DOI:10.1016/j.cmet. 2011. 08. 016.
- [10] Gibbs ME, Lloyd HG, Santa T, et al. Glycogen is a preferred glutamate precursor during learning in 1-day-old chick: biochemical and behavioral evidence[J]. J Neurosci Res, 2007, 85(15): 3326-3333. DOI:10.1002/jnr. 21307.
- [11] Schurr A, Payne RS, Miller JJ, et al. Blockade of lactate transport exacerbates delayed neuronal damage in a rat

001.

- [7] 董迎春,李诗柳,周如华,等. 大规模汉族个体 15 个 STR 基因座遗传多态性调查[J]. 中国法医学杂志, 2016,31(6):630-632. DOI:10.13618 / j. issn. 1001-5728.2016.06.031.
- [8] 靳婵婵,贺静,王蕾,等. 云南汉族 15 个短串联重复序列基因座遗传多态性特征及分析[J]. 中国免疫学杂志,2016,32(10):1428-1436. DOI:10.3969/j. issn. 1000-484X.2016.10.005.
- [9] Wang X, Chen W, Zhao L, et al. Genetic polymorphism analysis of 3 short tandem repeat loci on chromosome 21 in Chinese Han population in Shaanxi Province [J]. Journal of Southern Medical University, 2008, 28(10): 1906-1908.
- [10] 魏丽,张涛,孙数毅,等. 中国 4 个少数民族人群 18 个 STR 基因座遗传多态性[J]. 中国法医学杂志,2015, 30(3): 301-304. DOI: 10.13618/j. issn. 1001-5728. 2015.03.023.
- [11] Hossain T, Hasan M, Mazumder AK, et al. Genetic polymorphism studies on 22 autosomal STR loci of the PowerPlex Fusion System in Bangladeshi population[J]. Leg Med (Tokyo), 2016, 23:44-46. DOI:10.1016 / j. legalmed. 2016.09.005.

(收稿日期 2017-05-05)

(本文编辑:甘慧敏)

model of cerebral ischemia[J]. Brain Res, 2001, 895(1-2): 268-272. DOI:10.1016/s0006-8993(01)02082-0.

- [12] Newman LA, Korol DL, Gold PE. Lactate produced by glycogenolysis in astrocytes regulates memory processing [J]. PLoS One, 2011, 6(12): e28427. DOI:10.1371/journal.pone.0028427.
- [13] Lu W, Huang J, Sun S, et al. Changes in lactate content and monocarboxylate transporter 2 expression in Aβ-treated rat model of Alzheimer's disease [J]. Neurol Sci, 2015, 36(6): 871-876. DOI:10.1007/s10072-015-2087-3.
- [14] Pierre K, Pellerin L. Monocarboxylate transporters in the central nervous system:distribution, regulation and function[J]. J Neurochem, 2005, 94(1): 1-14. DOI:10.1111/j. 1471-4159. 2005.03168. x.

(收稿日期 2017-04-09)

(本文编辑:石俊强)